# Identifikasi Pneumonia Pada Anak Berbasis Citra X-Ray Paru-Paru Menggunakan Metode *Convolutional Neural Network* (CNN)

# Natasya Umi Fitria<sup>1</sup>, Yana Adharani<sup>1\*</sup>, Popy Meilina<sup>1</sup>, Rita Dewi Risanty<sup>1</sup>

<sup>1</sup>Teknik Informatika, Universitas Muhammadiyah Jakarta, Jl. Cempaka Putih Tengah 27, Jakarta Pusat, 10510 \* Corresponding Author: yana.adharani@umj.ac.id

#### Abstrak

Pneumonia merupakan salah satu penyebab utama kematian anak balita di seluruh dunia. Penyakit ini disebabkan oleh bakteri, virus, atau jamur yang menyebabkan paru-paru terisi nanah dan cairan sehingga menyulitkan anak-anak dalam bernafas. Organisasi Kesehatan Dunia (WHO) menyebutkan 99% kematian anak akibat pneumonia terjadi di negara berkembang. Salah satu cara pengidentifikasi penyakit pneumonia adalah dengan melakukan rontgen x-ray. Hasil rontgen x-ray termasuk citra kompleks sehingga diperlukan metode yang sesuai untuk melakukan identifikasi. Convolutional Neural Network (CNN) merupakan salah satu metode dalam deep learning yang dapat digunakan untuk melakukan klasifikasi. Pada penelitian ini dilakukan klasifikasi terhadap hasil rontgen x-ray paru-paru anak dengan menggunakan CNN. Klasifikasi dibagi kedalam dua kelas, yaitu terindikasi pneumonia dan normal. Hasil uji coba menunjukkan CNN dapat digunakan untuk melakukan klasifikasi apakah seorang anak terindikasi pneumonia atau tidak berdasarkan hasil rontgen x-ray paru-paru anak dengan tingkat akurasi 0.9632 dan loss 0.1139.

Kata kunci: Pneumonia, Anak, Rontgen X-Ray, Paru-Paru, CNN

#### Abstract

Pneumonia is one of the leading causes of *toddler's* mortality in the world. The disease caused by bacteria, viruses, or fungi that cause the lungs to fill with pus and fluid, making children difficult to breathe. World Health Organization (WHO) states that 99% of child deaths due to pneumonia occur in developing countries. One of the strategies to identify pneumonia is by performing an x-ray. X-ray results is complex images, so that an appropriate method is needed to identify them. Convolutional Neural Network (CNN) is one of deep learning method that can be used to perform classification. In this study, classification was carried out on the results of x-rays of children's lungs using CNN. The classification is divided into two classes, indicated pneumonia and normal. The results showed that CNN can be used to classify whether a child is indicated pneumonia or not based on the results of the child's lung x-ray with an accuracy level of 0.9632 and a loss of 0.1139.

Keywords: Pneumonia, Child, X-ray, Lungs, CNN

### **PENDAHULUAN**

## 1. Pendahuluan

Penyakit *pneumonia* merupakan penyebab utama kematian anak balita. Penyakit ini disebabkan oleh bakteri, virus atau jamur yang mengakibatkan anak-anak sulit bernafas karena paru-paru terisi nanah dan cairan. *Pneumonia* ditandai dengan gejala batuk dan

atau kesulitan bernapas seperti napas cepat dan tarikan dinding dada bagian bawah ke dalam. Berdasarkan data WHO, 99% kematian *pneumonia* anak terjadi dinegara berkembang (Kementerian Kesehatan RI, 2015). Menurut kevin Watkins, Chief Executive of save the children, *pneumonia* sebagai epidemi global yang terabaikan yang perlu segera ditindaklanjuti, nyawa jutaan anak terancam

karena ketiadaan vaksin, antibiotic dan pengobatan dengan oksigen secara teratur (UNICEF, 2019).

Berdasarkan Riset Kesehatan Dasar (Riskesdas) melaporkan bahwa keiadian pneumonia sebulan terakhir mengalami peningkatan pada tahun 2007 sebesar 2,1% menjadi 27% pada tahun 2013 (Anwar & Dharmayanti, 2014). Diperkirakan 1,8 juta atau 20% dari kematian anak diakibatkan karena pneumonia. Dari laporan WHO tahun 2017, 15% dari kematian anak dibawah 5 tahun atau 5,5 juta disebabkan pneumonia. Menurut (Henrietta Fore, Executive Director UNICEF) setiap hari, terdapat 2.200 anak balita yang meninggal akibat pneumonia. Di Indonesia pada tahun 2018 diperkirakan sekitar 19.000 anak meninggal dunia akihat pneumonia (UNICEF, 2019).

Kematian pneumonia dapat dicegah dengan meningkatkan akses dan kualitas pelayanan kesehatan pada balita, disamping itu iuga keluarga berperan aktif dalam kesehatan anak dengan cara memberikan ASI eksklusif 6 bulan menyusui ditambah MPASI selama 2 pada tahun, imunisasi lengkap kecukupan gizi seimbang dan menerapkan pola hidup bersih (Kementerian Kesehatan RI, 2020). Penyakit pneumonia dapat dicegah dengan vaksin dan menggunakan antibiotik apabila didiagnosis secara cepat. Diagnosis pneumonia pada anak dapat melibatkan pemeriksaan fisik seperti rontgen x-ray dada dan pemeriksaan laboratorium, namun masih kesulitan dalam mengidentifikasi terdanat pneumonia hasil dari rontgen dada sehingga diperlukannya identifikasi dalam hasil rontgen untuk membantu para ahli dokter memberikan diagnosis yang jelas (Unair, 2023).

Sebelumnya telah dilakukan beberapa penelitian terkait identifikasi kondisi paruparu, sebagai contoh pada penelitian (Putri, Diana, & Purnamasari, 2020) menggunakan metode mengidentifikasi K-NN untuk paru-paru bedasarkan penyakit kemiripan dengan mendapatkan hasil akurasi sebesar 96.96%, kemudian pada penelitian yang dilakukan oleh (Yopento, Ernawati, & Coastera, 2022) menggunakan metode CNN berdasarkan ekstraksi fitur sobel pada citra xray paru-paru guna mendeteksi pneumonia atau tidak, dimana dalam penelitian ini mendapatkan hasil akurasi sebesar 92.59%, dengan metode CNN terdapat peluang untuk meningkatkan hasil *akurasi*. Pada penelitian serupa juga dilakukan oleh Juliandri Estomihi menggunakan metode *Backpropagation* mendapatkan hasil akurasi sebesar 93.3%.

Pada penelitian ini, akan dilakukan identifikasi *pneumonia* dengan metode CNN. Penggunaan metode CNN dipilih karena berdasarkan penelitian sebelumnya metode ini cukup efekif dalam mengekstraksi fitur dari citra medis kompleks seperti CT scans atau radiografi paru-paru. Oleh karena itu, dalam penelitian ini akan dilakukan identifikasi *pneumonia* pada anak berbasis citra x-ray menggunakan Metode *Convolutional Neural Network (CNN)*".

#### Pneumonia

Pneumonia merupakan infeksi jaringan paru-paru (alveoli) yang bersifat akut. Penyakit ini bisa disebabkan oleh bakteri dan virus yang ada dilingkungan sekitar, bagi yang terkena pneumonia sulit untuk bernafas karena paru-parunya berisi nanah dan cairan (UNICEF, 2020). Salah satu gejala pneumonia yaitu menggigil, demam, batuk dan sesak nafas. Pneumonia tidak hanya menyerang orang tua bahkan banyaknya menyerang anak anak dan anak dibawah usia 5 tahun.

Pneumonia merupakan penyebab utama kematian pada anak (usia < 5 tahun) atau pada bayi baru lahir (usia < 28 hari) bahkan bisa terjadi dalam beberapa jam setelah kelahiran (Hasanah & Santik, 2021). Pada anak-anak atau bayi baru lahir kemungkinan terinfeksi pneumonia semakin tinggi jika terdapat faktor risiko besar, seperti diakibatkan dari proses yang terjadi saat kehamilan, saat proses persalinan (Meizikri, Yani, & Yusrawati, 2016).

# Gangguan Pernafasan

Gangguan pernafasan adalah gangguan yang terjadi pada proses pengikatan oksigen pada saluran pernafasan. Gangguan pernafasan disebabkan oleh bakteri, virus, kuman dan zat lain yang berkaitan dengan *hemoglobin*. Penyakit gangguan pernafasan tidak hanya menyerang orang dewasa, perokok melainkan bisa menyerang terhadap anak-anak atau bayi yang baru lahir. Gangguan pernafasan yang

umum terjadi pada anak salah satunya seperti RDS, *pneumonia neonatal*, yang diakibatkan karena komplikasi (Reuter, Moser, & Baack, 2014).

# **Pre-Processing**

Pre-processing merupakan suatu teknik awal dalam data mining untuk mengambil informasi yang ada dengan cara membersihkan data-data menggabungkan tersebut. sehingga menjadi data yang lebih bersih untuk pengolahan dilakukan berikutnya (Nurvinda, 2021). Dalam citra digital, Preprocessing merupakan suatu proses untuk menghilangkan noise atau bagian yang tidak diperlukan pada gambar. Pre-processing merupakan tahapan awal dalam pengenalan karakter (Rohpandi, Sugiharto, & Winara, 2015). Pre-procesing terdiri dari gravscele image, thresholding image, segmentation, data transformation, dan augmentation image.

### 1. Greyscale image

Grayscale adalah sebuah citra yang memiliki warna hitam, keabuan, dan putih. Grayscale merupakan hasil konversi dari citra digital yang mempunyai 3 komponen (RED = GREEN = BLUE) untuk menunjukkan tingkat intensitas. Citra grayscale mempunyai nilai intensitas setiap pixel yang berkisar antara 0 sampai dengan 255. Nilai 0 menyatakan hitam dan nilai 255 menyatakan putih. Proses ini akan mengecilkan range warna citra menjadi 0 sampai 255. Proses ini akan memudahkan ketika akan melakukan thresholding citra menjadi citra biner (Hibatullah & Maliki, 2018).

# 2. Thresholding image

Thresholding merupakan suatu proses dimana hasilnya berupa citra biner dari citra grayscale atau citra berwarna dengan mengatur nilai piksel ke nilai 0 atau 1 dimana thresholding sebuah citra digital yang hanya memiliki dua kemungkinan warna pixelnya hitam dan putih dari nilai ambang batasnya, dalam gambar grayscale, thresholding dapat digunakan untuk memisahkan objek yang terang dari latar belakang yang gelap atau sebaliknya (Hibatullah & Maliki, 2018). Biasanya pixel object diberi nilai 1 sementara pixel background diber inilai 0. Proses awal

yang banyak dilakukan dalam image processing adalah mengubah citra berwarna menjadi citra grayscale, hal ini digunakan untuk menyederhanakan model citra.

### 3. Segmentation

merupakan Segmentasi proses pembagian sebuah citra menjadi daerah pilihan dari citra secara keseluruhan. Hal-hal yang mempengaruhi proses segmentasi agar bisa dilakukan yaitu tekstur, kecerahan, serta intensitas jumlah pixel. Teknik segmentasi yaitu dengan membagi citra manjadi beberapa untuk mengetahui batasannya, sedangkan teknik selanjutnya yaitu dengan memberi index terhadap warna tiap piksel yang menunjukkan bagian dalam suatu segmentasi (Bhahri & Rachmat, 2018).

### 4. Data Transformasi

Data transformasi adalah proses mengubah data dari satu bentuk atau format ke bentuk atau format lainnya. Transformasi data seringkali dilakukan dalam konteks analisis data atau pengolahan data untuk memungkinkan analisis yang lebih efektif, visualisasi, atau penyimpanan data yang lebih baik. Pada tahap ini, data akan dinormalisasi digeneralisasikan (Oliver, dan 2023). Normalisasi adalah salah satu teknik persiapan data yang paling sering digunakan. Pada machine learning dan data mining, proses ini membantu mengubah nilai kolom numerik dalam dataset untuk menggunakan skala umum.

# 5. Augmentation Image

Augmentation Image merupakan teknik mengubah data yang ada untuk membuat lebih banyak data saat proses pelatihan model. Image augmentation suatu proses menciptakan contoh pelatihan baru yang sudah ada dengan membuat sampel terbaru. Dalam augmentation image terdiri atas resizing atau rescale, flipping dan cropping. (Laraswati, 2023).

Rescale merupakan salah satu bagian dari image augmentation yang berfungsi untuk menormalisasikan nilai setiap pixel pada gambar menjadi nilai 0 sampai 1, dalam artian jika gambar diperbesar maka faktor skala harus lebih besar dari 1, jika gambar diperkecil maka faktor skala harus antara 0 dan 1. Nilai pixel

dalam rentang [0.255], maka setelah rescale perlu memastikan bahwa rentan nilai pixel tetap berada dalam [0.255]. dapat diketahui dengan perumusan:

Pixelbaru = pixellama x faktorskala (1)

Dengan keterangan:

Pixel\_lama : nilai pixel asli pada gambar Factor\_baru : faktor skala yang dipilih

Flipping merupakah salah satu bagian dari image augmentation yang berfungsi untuk membalikan posisi secara vertical maupun horizontal.

Cropping atau proses pemotongan merupakan salah satu dari image augmentation yang dilakukan secara random, namun diberikan parameter size untuk menentukan saat melakukan crop.

### Convolution Neural Network (CNN)

Convolution Neural Network (CNN) dari adalah pengembangan Multilayer Perceptron (MLP) yang didesain untuk mengolah data dua dimensi (Suartika E. P, Wijaya, & Soelaiman, 2016). Convolution Neural Network (CNN) merupakan salah satu jenis neural network yang digunakan pada data image. Convolution Neural Network (CNN) juga bisa digunakan untuk mendeteksi dan mengenali object pada sebuah image. Convolution Neural Network (CNN) ini terdiri dari neuron yang memiliki weight, bias dan Convolution activation function. Neural Network (CNN) memanfaatkan proses konvolusi dengan menggerakan sebuah kernel konvolusi (filter) berukuran tertentu ke sebuah gambar (Lina, 2019).

Secara garis besar, tahapan CNN dibagi menjadi dua fase, yaitu *features learning* dan *classification*. Alur proses pertama adalah input data, lalu diproses dengan *convolution* + *ReLU1*, lapisan ini memiliki beberapa filter yang digeser untuk mengextrak fitur lanjutan. Kemudian proses *pooling1* dimana nilai maksimum dihitung dan diambil dari *feature map*. Lalu mengulang pada proses *convolution* + *ReLU2* kemudian kembali ke proses *pooling2* untuk mengurangi dimensi *feature map*. Dari hasil pooling terakhir dilanjutkan

proses classification, yaitu flatten, fully connected dan softmax. Pada proses flatten image dipecah menjadi image yang sudah diolah dan di filter dari tahap feature learning.

Pada convolution neural network terdapat dense dan dropout. Dense atau disebut juga Fully Connected Layer merupakan suatu lapisan yang terdiri dari sejumlah besar neuron atau unit yang saling terhubung penuh. Setiap neuron dalam lapisan dense menerima masukan dari tiap neuron dalam lapisan sebelumnya. Ini berarti setiap neuron dalam lapisan dense terhubung ke semua neuron dalam lapisan sebelumnya.

Dropout adalah teknik regulasi yang bertujuan untuk mengurangi kompleksitas model dengan tujuan mencegah overfitting. Dropout hanyak diterapkan selama pelatihan, dengan mengubah skala aktivitas neuron. Pada dropout ini ditentukannya dengan angka 0,5 untuk mengindikasikan bahwa sekitar 50% dari neuron dalam lapisan sebelumnya akan dinonaktifkan secara acak selama pelatihan. Dengan perumusan:

Output = 
$$x * mask$$
 (2)

x : input ke fungsi ReLU

Mask: hasil keluaran nilai acak yang menentukan unit akan dinonaktifkan atau tidak.

Mask akan benilai 1 jika unit tetap aktif atau 0 jika unit dinonaktifkan.

Pada tahapan Convolution Neural Network memiliki beberapa layer yang berfungsi untuk melakukan *filter* pada setiap prosesnya yang disebut proses *training*. Proses *training* terdapat beberapa tahap yaitu *convolution layer*, *poolling layer* (Santoso & Ariyanto, 2018).

#### ReLU

Aktivasi ReLu merupakan lapisan aktivasi pada model *convolutional neural network* yang dapat mengaplikasikan fungsi *thresholding* dengan nilai nol terhadap nilai pixel input. Fungsi ReLU akan mengubah nilai negative menjadi nol atau ReLU akan mengembalikan nilai 0 jika hasil negative dan jika didapatkan lebih dari 0 maka nilai tersebut menghasilkan nilai itu sendiri, dengan rumus:

$$ReLU(x) = max(0,x)$$
 (3)

Dengan keterangan:

x : input ke fungsi ReLU

ReLU(x) : hasil keluaran

Dapat dikatakan ReLU(x) menghasilkan nilai 0 jika x kurang dari atau sama dengan 0 dan akan menghasilkan nilai x itu sendiri jika x>0. **Softmax** 

Fungsi Softmax menghitung probabilitas dari setiap kelas target atas semua kelas target yang memungkinkan dan akan membantu untuk menentukan kelas target untuk input diberikan. Keuntungan vang utama menggunakan Softmax adalah rentang probabilitas output dengan nilai 0 hingga 1, dan jumlah semua probabilitas akan sama Softmax menggunakan dengan satu. eksponensial dari nilai input yang diberikan dan jumlah nilai eksponensial dari semua nilai dalam input. Maka rasio eksponensial dari nilai input dan jumlah nilai eksponensial adalah output dari fungsi softmax.

Softmax function mengonversi nilai-nilai numerik menjadi probabilitas. Maka fungsi softmax dengan perumusan:

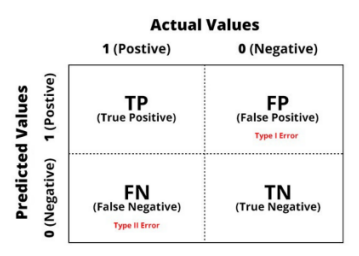
$$s(o_i) = \frac{e^{o_i}}{\sum_{j=1}^n e^{o_i}}$$
 (4)

Dengan keterangan:

 $s(o_i)$  adalah output ke-i dari softmax n adalah jumlah kelas.

#### **Confusion Matriks**

Confusion matriks merupakan suatu model yang digunakan untuk menampilkan hasil pengklasifikasian dengan mudah. digunakan Confusion matriks untuk menampilkan performa dari model-model algoritma lain dan juga untuk melakukan perhitungan akurasi pada konsep data maining. Dalam confusion matriks terdapat beberapa parameter yang digunakan sebagai pengatur performa, yaitu menghitung tingkat akurasi tingkat loss. Berikut penjelasan perhitungan confusion matrix mencari akurasi dan loss.



Gambar 1. Confusion matrix

Pada Gambar 1 confusion matrix terdapat True Positive (TP), True Negative (TN), False Positive (FP) dan False Negative (FN).

- a. *True Positive (TP)*: Merupakan data positif yang diprediksi benar.
- b. *True Negative (TN)*: Merupakan data negatif yang diprediksi benar.
- c. False Positive (FP)/ Type I Error: Merupakan data negatif namun diprediksi sebagai data positif.
- d. False Negative (FN)/ Type II Error: Merupakan data positif namun diprediksi sebagai data negatif.

Confusion matrix dapat dilakukan untuk mengukur kinerja model convolution neural network. Pada pengujiannya dilakukan untuk melihat akurasi dan loss.

1. Akurasi : seberapa akuratnya model untuk klasifikasi dengan benar.

$$accuracy = \frac{TP + TN}{(TP + FP + FP + FN)}$$
(5)

2. Loss

$$loss = -\frac{1}{N} + \sum_{i=1}^{N} (y_i \log(p_i) + (1 - y_i) \log(1 - p_i))$$
(6)

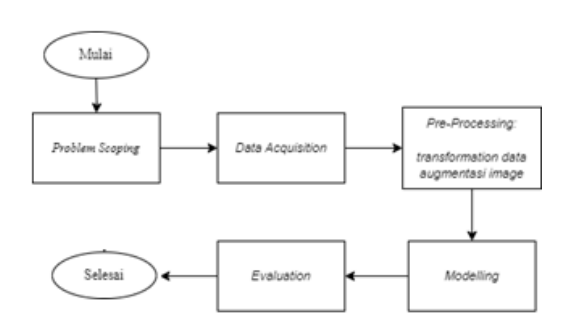
N adalah jumlah sampel,  $y_i$  adalah label aktual dan  $p_i$  adalah probability prediksi.

#### METODE

Tahapan penelitian dilakukan sebagaimana tertera dalam Gambar 2.

TINF - 003 p - ISSN : 2407 – 1846 e - ISSN : 2460 – 8416

# Website: jurnal.umj.ac.id/index.php/semnastek



Gambar 2. Tahapan penelitian

### **Problem Scoping**

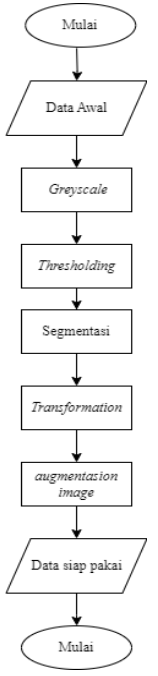
Permasalahan yang diangkat mengenai identifikasi kondisi paru-paru pada anak berdasarkan hasil *rontgen x-ray*. Penelitian ini dilakukan untuk melihat kondisi paru-paru pada anak yang rentan terhadap gangguan pernafasan *pneumonia* yang dapat menyebabkan kematian.

## Data Acquisition

Penelitian ini menggunakan data yang didapatkan dari *kaggle* yaitu *image* hasil x-ray paru-paru anak sebanyak 1354 data, yang terdiri dari 624 data *test* (normal dan *pneumonia*) dan 730 data *train* (normal dan *pneumonia*). Data yang digunakan berupa data *image* yang terbagi menjadi data paru-paru normal dan data paru-paru *pneumonia*.

# Pre-processing

Tahapan pre-processing data:



Gambar 3. Tahapan pre-processing

Berdasarkan Gambar 3, preprocessing terdiri dari 5 tahap, yaitu grayscale image, thresholding, segmentasi, transformation, dan augmentation image.

# 1. Greyscale Image

Langkah awal yang perlu dilakukan dalam mengidentifikasi pneumonia pada anak adalah dengan merubah citra hasil rontgen x-ray ke dalam bentuk greyscale seperti pada gambar 4.



Grayscale Image

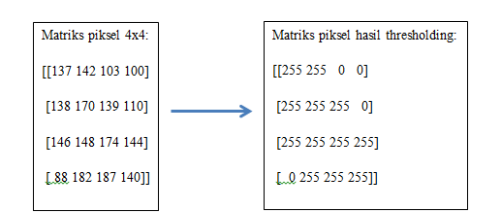
Gambar 4. Grayscale image

#### 2. Thresholding Image

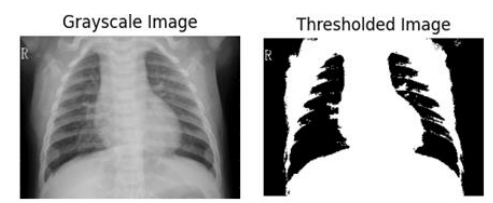
Setelah diubah dalam bentuk grayscale selanjutnya thresholding, thresholding digunakan untuk memisahkan objek yang terang dari latar belakang yang gelap atau sebaliknya, thresholding memiliki matriks yang sama ukurannya dengan citra masukan, di mana setiap piksel telah diubah menjadi 0 atau 255 seperti pada code berikut:

```
def thresholding(image):
__, thresholded_image = cv2.threshold(image, 127, 255, cv2.THRESH_BINARY)
return thresholded_image
```

Thresholding dengan ambang 127, piksel-piksel yang lebih besar dari 127 akan menjadi 255, dan yang lebih kecil atau sama dengan 127 akan menjadi 0. Contoh dalam bentuk matriks:



Matriks ini didapatkan dari gambar yang digunakan dan hasil seperti pada gambar 5.



Gambar 5. Thresholding image

#### 3. Segmentation image

Tahap ini membagi gambar menjadi beberapa segmen atau wilayah yang memiliki kesamaan karakteristik, dalam pengenalan objek, segmentasi dapat mengidentifikasi dan memisahkan objek dalam gambar dari latar belakangnya, dimana menggunakan parameter -1 yang menandakan bahwa semua kontur yang ditemukan digambar. Menggunakan (0, 255, 0) untuk menggambarkan kontur pada gambar seperti pada *code* berikut:

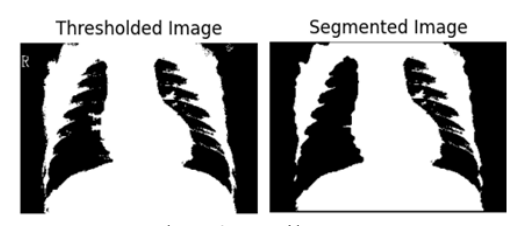
```
def segmentation(image):

contours,__ = cv2.findContours(image, cv2.RETR_EXTERNAL,
cv2.CHAIN_APPROX_SIMPLE)

segmented_image = cv2.drawContours(image.copy(), contours, -1, (0, 255,
0), 2)

return segmented_image
```

Hasil *segmentation image* dapat dilihat pada gambar 6.



Gambar 6. Hasil segmentation

### 4. Data Transformasi

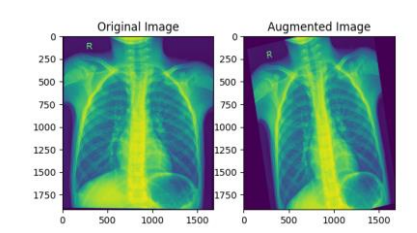
Pada tahap ini dilakukan normalisasi hasil *rontgen* paru-paru anak dengan rescale:1/255. Proses *transformasi* dilakukan terhadap 734 data *train*, dan 624 data *test* dengan mengubah target\_size dan batch\_size. Contoh hasil *transformasi* citra paru-paru anak dapat dilihat pada gambar 7.



Gambar 7. Hasil transformasi paru-paru anak

#### 5. Augmentation Image

Setelah *image rontgen* paru-paru anak di normalisasi selanjutnya untuk perbaikan data model dilakukan *augmentasi image* dengan rotasion range 45° dan 50°. Untuk zoom dilakukan 2 kali percobaan dengan besaran zoom yang berbeda-beda yaitu 20% dan 30%. Contoh hasil *augmentation image* untuk hasil *rontgen* x-ray anak pada paru-paru normal yang dijadikan sebagai data *train* dapat dilihat pada gambar 8.



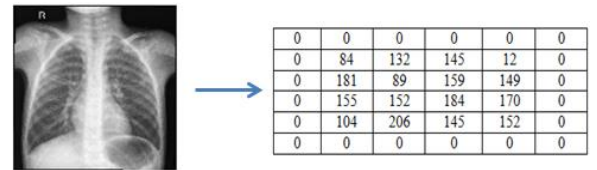
Gambar 8. Hasil augmentation image

# **Modelling**

# 1. Convolution Neural Network

Pada proses modelling convolution neural network dilakukan perhitungan convolution

layer hingga polling layer. Berikut proses konvolusi dengan memberikan nilai filter pada matrix. Pixel citra ini dengan 1 channel yaitu grey dari data asli, diambil data pixelnya masing-masing dan ditambahkan dengan padding 0 disetiap pixelnya sehingga didapatkan pixel seperti gambar 9.



Gambar 9. Nilai *pixel dataset* paru-paru yang normal

Pada proses percobaan ini menggunakan kernel 3x3 dengan nilai pada gambar 10.

Ī	1	0	-1
	1	0	-1
Ī	1	0	-1

Gambar 10. Kernel 3x3

Selanjutnya dilakukan proses perhitungan dengan mengkalikan hasil pixel pada gambar 10 dengan kernel 3x3 pada gambar 11. Tahapan ini dilakukan berulang dengan pergeseran kernel sebanyak 1 *strides* setiap *channelnya* sehingga didapatkan perhitungan dengan nilai sebagai berikut:

0	0	0	0	0	0				
0	84	132	145	12	0	Posisi 1			
0	181	89	159	149	0	(1*0)+(0*0)+((-1)*0)+			
0	155	152	184	170	0	(1*0)±(0*84)+((-1)*132)+			
0	104	206	145	152	0	(1*0)±(0*181)+((-1)*89) = -221			
0	0	0	0	0	0				
0	0	0	0	0	0				
0	84	132	145	12	0	Posisi 2			
0	181	89	159	149	0	(1*0)±(0*0)+((-1)*0)+			
0	155	152	184	170	0	(1*84);;(0*132)+((-1)*145)+			
0	104	206	145	152	0	(1*181)+(0*89)+((-1)*159) = -39			
0	0	0	0	0	0				
0	0	0	0	0	0	Posisi 3			
0	84	132	145	12	0	Posisi 3			
0	181	89	159	149	0	(1*0);;(0*0)+((-1)*0)+			
0	155	152	184	170	0	(1*132)±(0*145)+((-1)*12)+			
0	104	206	145	152	0	(1*89)+ (0*159)+((-1)*149) = 60			
0	0	0	0	0	0				
0	0	0	0	0	0	Ī			
0	84	132	145	12	0	Posisi 4			
0	181	89	159	149	0	(1*0);;(0*0)+((-1)*0)+			
0	155	152	184	170	0	(1*145)+(0*12)+((-1)*0)+			
0	104	206	145	152	0	(1*159)±(0*149)+((-1)*0) = 304			
0	0	0	0	0	0	(1 155)(-1) 0) = 304			

0	0	0	0	0	0	١		
0	84	132	145	12	0	Posisi 5		
0	181	89	159	149	0	(1*0)+(0*84)+((-1)*132)+		
0	155	152	184	170	0	(1*0)+(0*181)+((-1)*89)+		
0	104	206	145	152	0	(1*0)+(0*155)+((-1)*152) = -373		
0	0	0	0	0	0			
9	0	0	0	0	0	12		
9	94	132	145	12	0	Posisi 6		
0	181	29	159	149	0	(1*84)+(0*132)+((-1)*145)+		
9	155	152	184	170	0	(1*181)+(0*89)+((-1)*159)+		
0	104	206	145	152	0	(1*155)±(0*152)+((-1)*184) = -		
-	1					10		
0	0	.0	0	0	0	Posini 7		
0	84	132	143	12	0	TOTAL STREET		
0	181	1)	159	149	0	(1*132):(0*145)+((-1)*12)+		
0	155	152	184	170	0	(1*89)+(0*159]±((-1)*149)+		
0	104	206	145	152	0	(1*152)+(0*184)+((-1)*170) = 42		
				-		W.		
0	0	0	0	0	0	Posisi 8		
0	84	132	145	12	0			
0	181 155	89 152	159 184	149 170	0	(1*145)±(0*12)+((-1)*0)+		
0						(1*159)±(0*149)+((-1)*0)+		
0	104	206	0	0	0	(1*184)±(0*170)+((-1)*0) = 488		
0	0	0	0	0	0	T		
0	84	132	145	12	0	Posisi 9		
0	181	89	159	149	0	(1*0)±(0*181)+((-1)*89)+		
0	155	152	184	170	0	(1*0)::(0*155):+((-1)*152):+		
0	0	206	145	152	0	(1*0)±(0*104)+((-1)*206) = -447		
•	Ů	·	0	Ů	Ů			
0	0	0	0	0	0	Postel 10		
0	84	132	145	12	0	Posisi 10		
0	181	89	159	149	0	(1*181)±(0*89)+((-1)*159)+		
0	155	152	184	170	0	(1*155)±(0*152)+((-1)*184)+		
0	104	206	145	152	0	(1*104)±(0*206)+((-1)*145) = -48		
0	0	0	0	0	0			
0	0	0	0	0	0			
0	84	132	145	12	0	Posisi 11		
0	181	89	159	149	0	(1*89)+ (0*159);;((-1)*149)+		
0	155	152	184	170	0	(1*152)+(0*184)+((-1)*170)+		
0	104	206	145	152	0	(1*206)±(0*145)+((-1)*152) = -24		
0	0	0	0	0	0			
0	0	0	0	0	0	Posisi 12		
0	84	132 89	145	12	0			
0	181	152	159 184	149	0	(1*159)±(0*149)+((-1)*0)+		
0	104	206	145	152	0	(1*184)±(0*170)+((-1)*0)+		
0	0	0	0	0	0	(1*145)±(0*152)+((-1)*0) = 488		
0	0	0	0	0	0	· 1		
~	84	132	145	12	0	Posisi 13		
0		89	159	149	0	(1*0)±(0*155)+((-1)*152)+		
0	181			1	1	1 1		
	181 155	152	184	170	0	(1*0)+(0*104)+((-1)*206)+		
0			184 145	170 152	0	(1*0)±(0*104)+((-1)*206)+ (1*0)±(0*0)+((-1)*0) = -358		

0	0	0	0	0	0				
0	84	132	145	12	0	Posisi 14			
0	181	89	159	149	0	(1*155)±(0*152)+((-1)*184)+			
0	155	152	184	170	0	(1*104)±(0*206)+((-1)*145)+			
0	104	206	145	152	0	(1*0)+(0*0)+((-1)*0) = -70			
0	0	0	0	0	0	(2 3)(2) 3) (3			
_									
0	0	0	0	0	0				
0	84	132	145	12	0	Posisi 15			
0	181	89	159	149	0	(1*152)±(0*184)+((-1)*170)+			
0	155	152	184	170	0	(1*206)±(0*145)+((-1)*152)+			
0	104	206	145	152	0	(1*0)+(0*0)+((-1)*0) = 36			
0	0	0	0	0	0	(2.3)(2.3)			
						1			
0	0	0	0	0	0	Posisi 16			
0	84	132	145	12	0				
0	181	89	159	149	0	(1*184)±(0*170)+((-1)*0)+			
0	155	152	184	170	0	(1*145)+(0*152)+((-1)*0)+			
0	104	206	145	152	0	(1*0)+(0*0)+((-1)*0) = 329			
0	0	0	0	0	0	(>m> (( -> -> ->			

Gambar 11. Perhitungan konvolusi layer

Setelah perhitungan pergeseran konvolusi layer diatas, didapatkan hasil dari tiap posisinya seperti pada gambar 12.

-221	-39	60	304
-373	-68	42	488
-447	-48	-24	488
-358	-70	36	329

Gambar 12. Hasil perhitungan konvolusi layer

Hasil dari perhitungan konvolusi layer ini kemudian diubah dengan fungsi *activation* RELU, dimana setiap nilai yang negative diubah menjadi angka 0 sehingga didapatkan hasil seperti pada gambar 13.

-221	-39	60	304	f(x) = max(0,x)	0	0	60	304
-373	-68	42	488	35x) = 111dx(0,x)	0	0	42	488
-447	-48	-24	488		0	0	0	488
-358	-70	36	329		0	0	36	329

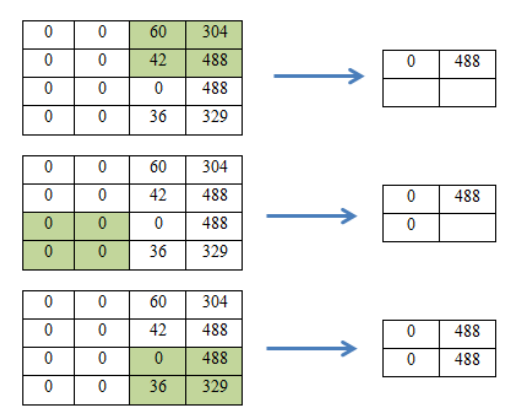
Gambar 13. Hasil convolutional 1

Proses ini dilakukan secara berulang sampai semua citra dengan menggunakan 32 filter yang berbeda sehingga *output* dari tahapan konvolusi akan menghasilkan banyak *feature map*.

#### 2. Pooling Layer

Output tahap konvolusi akan dijadikan sebagai input pooling layer, pada tahap ini menggunakan maxpooling dengan kernel 2x2, dimana yang diambil nilai terbesar. Proses maxpooling hasil diatas ditunjukkan pada gambar 14.

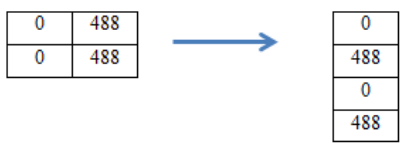
0	0	60	304		
0	0	42	488	0	
0	0	0	488		
0	0	36	329		



Gambar 14. Proses perhitungan maxpooling

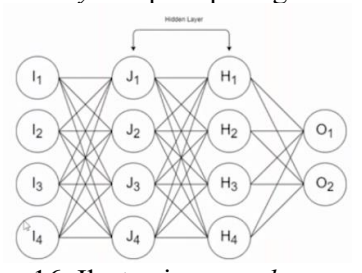
Gambar 14 merupakan tahapan *maxpooling*, tahapan ini dilakukan dengan kernel 2x2, nilai kernel akan diambil dari nilai tertinggi sehingga didapatkan nilai pertama 0. Selanjutnya dilakukan pergeseran kernel sebanyak 2 sehingga didapatkan nilai tertinggi 488.

Selanjutnya dari *output* 2x2x32 akan didapatkan bentuk vector baru seperti pada gambar 15.



Gambar 15. Flatten vektor baru

Gambar 15 merupakan proses *flatten* matrix 2x2 yang diubah menjadi vector matrix 4x1. *Output* tahap ini menjadi vector 1 dimensi yang akan digunakan sebagai *input fully connected layer (dense)*. Berikut ilustrasi *fully connected layer* seperti pada gambar 16.



Gambar 16. Ilustrasi proses dense + softmax

#### Keterangan:

- I = mempresentasikan nilai dari *flatten layer* sebelumnya,
- J = mempresentasikan *hidden layer* pertama dari hasil nilai *flatten layer* dikalikan dengan bobot (*v*),

- H = sebagai *hidden layer* kedua dimana hasil dari *hidden layer* pertama dikalikan dengan bobot (v) yang berbeda,
- O = mempresentasikan *output* dimana *output* pada penelitian ini memiliki 2 kelas (normal dan *pneumonia*).
- V = Bobot(0.2, 0.4, 0.5, 0.6).

Nilai II=0, I2=488, I3=0 dan I4=488. Selanjutnya dilakukannya proses *fully* connected layer pada setiap hidden layer:

$$J_I = (0*0.2) + (488*0.2) + (0*0.2) + (488*0.2)$$
  
= 195,2

$$J_2 = (0*0.4) + (488*0.4) + (0*0.4) + (488*0.4)$$
  
= 390.4

$$J_3 = (0*0.5) + (488*0.5) + (0*0.5) + (488*0.5)$$
  
= 488

$$J_4 = (0*0.6) + (488*0.6) + (0*0.6) + (488*0.6)$$
  
= 585.6

Hidden layer pertama dengan j1, j2, j3, j4, setiap neuron dari I1, I2, I3 dan I4 dikalikan dengan nilai weight yang berbedabeda sehingga menghasilkan nilai J1=195,2 J2=390,4 J3=488 dan J4=585,6. Setiap neuron dari J1, J2, J3 dan J4 akan dikalikan lagi dengan weight yang berbeda-beda untuk menghasilkan nilai H1, H2, H3 dan H4 sebagai hidden layer:

$$H_1 = (195,2*0.4) + (390,4*0.4) + (488*0.4) + (585,6*0.4)$$

=663,68

$$H_2 = (195,2*0.5) + (390,4*0.5) + (488*0.5) + (585,6*0.5)$$

= 829.6

$$H_3 = (195,2*0.2) + (390,4*0.2) + (488*0.2) + (585,6*0.2)$$

= 331.84

$$H_4 = (195,2*0.6) + (390,4*0.6) + (488*0.6) + (585,6*0.6)$$

=995,52

Setiap *neuron* dari *H1, H2, H3* dan *H4* akan dikalikan lagi dengan *weight* yang berbeda-beda untuk menghasilkan nilai O1 dan O2 sebagai *output*:

$$O_1 = (663,68*0.5) + (829,6*0.5) + (331,84*0.5) + (995,52*0.5)$$

$$= 1037,32$$

$$O_2 = (663,68*0.6) + (829,6*0.6) + (331,84*0.6) + (995,52*0.6)$$

$$= 1659,2$$

Setelah selesai, selanjutnya adalah perhitungan *softmax* dengan rumus O1 dibagi dengan total eksponensial O1 dan eksponensial O2. Tahap ini dilakukan 2 kali sehingga diperoleh:

$$s(oi) = \frac{e^{oi}}{\sum_{j=1}^{n} e^{oi}} s(O_1) = \frac{e^{1087,82}}{e^{1087,82} + e^{1659,2}}$$

$$s(O_1) = 0.4$$

$$s(oi) = \frac{e^{oi}}{\sum_{j=1}^{n} e^{oi}} s(O_2) = \frac{e^{1659,2}}{e^{1087,82} + e^{1659,2}}$$

$$s(O_2) = 0.6$$

$$s(O_1) + s(O_2) = 1$$

$$0.4 + 0.6 = 1$$

Sehingga didapatkan bobot nilai probabilitas yang lebih besar pada O2 yaitu 0.6 yang berarti *input* citra yang dimasukan memprediksi normal.

### HASIL DAN PEMBAHASAN

Dalam penelitian ini dilakukan klasifikasi x-rav anak menggunakan Convolution Neural Network untuk mengidentifikasi apakah anak tersebut menderita pneumonia atau normal. Dalam penggunaan metode ini untuk mendapatkan hasil dengan tingkat akurasi terbaik, maka beberapa percobaan banyaknya neuron, dropout dan epoch yang bervariasi sepeti pada Tabel 1. Sebelumnya pada proses augmentation image dilakukan percobaan dengan rotation 45° dan 60° dengan zoom 20% dan 30% dengan hasil tidak mendanatkan perubahan pada proses convolutional neural network.

Tabel 1 menunjukkan hasil pengujian untuk menentukan model convolution neural network dengan jumlah epoch, neuron dan dropout yang berbeda-beda. Banyaknya neuron dan nilai dropout yang memberikan hasil akurasi terbaik akan digunakan untuk pemodelan CNN

Tabel 1 Pengujian model

Epoch	Neuron			Drop	out		
Epocn	Iveuron	0,2	0,4	0,5	0,6	0,7	0,8
	16	0.8134	0.7861	0.8011	0.7548	0.8025	0.7360
10	128	0.9183	0.8747	0.8338	0.8610	0.8201	0.7845
10	512	0.8910	0.8733	0.9128	0.8542	0.8524	0.8110
	1024	0.8937	0.8896	0.8883	0.8515	0.9005	0.8392
	16	0.9223	0.9033	0.8951	0.8365	0.9125	0.7231
20	128	0.9319	0.9251	0.8965	0.9251	0.9035	0.7875
20	512	0.9232	0.9251	0.9223	0.9122	0.8751	0.8311
	1024	0.9223	0.9155	0.9087	0.9124	0.9169	0.9264
	16	0.9033	0.9278	0.8978	0.8597	0.8678	0.8922
30	128	0.9387	0.9292	0.9278	0.9319	0.9281	0.9301
30	512	0.9307	0.9346	0.9360	0.9319	0.9356	0.9218
	1024	0.9510	0.9441	0.9251	0.9278	0.9319	0.9126
40	16	0.9125	0.9178	0.8987	0.8611	0.8871	0.8969
	128	0.9212	0.9285	0.9256	0.9189	0.9052	0.9162
	512	0.9311	0.9378	0.9469	0.9423	0.9301	0.9387
	1024	0.9428	0.9466	0.9390	0.937	0.9332	0.9281
	16	0.9145	0.9167	0.9021	0.8915	0.8964	0.915
50	128	0.9223	0.9267	0.9287	0.9179	0.9212	0.9316
30	512	0.9321	0.9356	0.9578	0.9389	0.9311	0.9469
	1024	0.9482	0.9501	0.9487	0.9469	0.9442	0.9318
	16	0.9254	0.9278	0.9301	0.9256	0.9325	0.9257
60	128	0.9263	0.9285	0.9314	0.9105	0.9275	0.9115
00	512	0.9311	0.9425	0.9632	0.9365	0.9281	0.9525
	1024	0.9412	0.9578	0.9552	0.9632	0.9611	0.9402
	16	0.9165	0.8856	0.8992	0.9046	0.9155	0.9187
70	128	0.9365	0,9133	0.9401	0.9253	0.9164	0.9189
70	512	0.9375	0.9269	0.9659	0.9578	0.9187	0.9264
	1024	0.9429	0.9433	0.9520	0.9564	0.9542	0.9302

Dari hasil uji coba pada tabel 1, nilai akurasi terbaik diperoleh pada *epoh* ke-70 yaitu sebesar 0,9659 dengan menggunakan 512 *neuron* dan *dropout* terbaik pada 0.5. Berdasarkan hal tersebut maka selanjutnya proses pemodelan menggunakan CNN untuk mengidentifikasi *pneumonia* pada anak berdasarkan citra x-ray akan menggunakan 512 *neuron* dengan *dropout* 0.5.

Berdasarkan hasil tersebut dilakukan evaluasi model CNN kembali dengan jumlah epoh yang berbeda-beda untuk mengetahui tingkat akurasi terbaik pada klasifikasi paruparu anak dengan menggunakan 512 *neuron* dan *dropout* 0.5.

Tabel 2. Hasil evaluasi model

Epoch	Hasil Percobaan								
	Loss	Akurasi	Val_loss	Val_akurasi					
Epoch 10	0.2368	0.9128	0.5000	0.7837					
Epoch 19 dari 20	0.2244	0.9223	0.4531	0.8365					
Epoch 30	0.1745	0.9360	0.3670	0.8510					
Epoch 40	0.1472	0.9469	0.5366	0.8045					
Epoch 50	0.1389	0.9496	0.3416	0.8862					
Epoch 57 dari 60	0.1139	0.9632	0.2708	0.8942					
Epoch 67 dari 70	0.0984	0.9659	0.2485	0.9119					

Hasil evaluasi pada tabel 2, untuk jumlah neuron sebanyak 512 dan *drpout* 0,5 diperoleh

tingkat akurasi terbaik sebesar 0,9659 dengan loss 0,0984 pada epoh ke-67 dan 70. Dengan demikian dapat disimpulkan bahwa metode *CNN* dapat digunakan untuk mengidentifikasi penyakit *pneumonia* pada anak berdasarkan citra rontgen X-Ray paru-paru.

### SIMPULAN DAN SARAN

- 1. Hasil *rontgen* citra x-ray paru-paru dapat digunakan sebagai dasar untuk mengidentifikasi penyakit *pneumonia* pada anak.
- 2. Tingkat akurasi terbaik untuk mengidentifikasi penyakit *pneumonia* pada anak dengan pemodelan CNN berdasarkan citra x-ray paru-paru diperoleh pada epoh ke-67 dan 20 dengan menggunakan 512 neuron dan *dropout* 0.5.
- 3. Metode CNN dapat digunakan untuk mengidentifikasi penyakit *pneumonia* pada anak dengan tingkat akurasi 0.9659 dan loss 0,0984.

#### Saran

Perlu dilakukan penelitian lebih lanjut untuk mengatasi kesulitan dalam identifikasi pneumonia melalui hasil rontgen dada, termasuk pengembangan metode identifikasi yang lebih akurat dan efisien.

### **UCAPAN TERIMAKASIH**

Terimakasih ditujukan kepada Prodi Teknik Informatika, Fakultas Teknik Universitas Muhammadiyah Jakarta yang telah mendukung penelitian ini.

#### DAFTAR PUSTAKA

Anwar, A., & Dharmayanti, I. (2014).
Pneumonia pada Anak Balita di
Indonesia. *Jurnal Kesehatan Masyarakat Nasional*, 359-361.

Bhahri, S., & Rachmat. (2018). Transformasi Citra Biner Menggunakan Metode Thresholding Dan Otsu Thresholding. Jurnal Sistem Informasi Dan Teknologi Informasi, 199-202.

Hasanah, U., & Santik, Y. D. (2021). Faktor Intrinsik dan Extrinsik yang Berhubungan dengan Kejadian Pneumonia di Wilayah. *Jurnal* 

- Kesehatan Masyarakat Indonesia, Vol. 16, 84-90.
- Hibatullah, A., & Maliki, I. (2018). Penerapan Metode Convolutional Neural Network Pada Pengenalan Pola Citra Sandi Rumput. *Jurnal Teknik Informatika*, 2-3.
- Kementerian Kesehatan RI. (2015). Rencana Aksi Program Pengendalian Penyakit dan Penyehatan Tahun 2015-2019. 14.
- Kementerian Kesehatan RI. (2020, November 12). *Pneumonia Pada Anak bisa Dicegah dan Diobati*. Retrieved Januari 30, 2024, from kemkes: https://p2p.kemkes.go.id/pneumonia-pada-anak-bisa-dicegah-dan-diobati/
- Laraswati, B. D. (2023, Februari 10).

  Augmentasi Data, Teknik Modifikasi

  Untuk Perbanyak Data Anda.

  Retrieved Oktober 16, 2023, from algoritma.blog:

  https://blog.algorit.ma/augmentasi-data/
- Lina, Q. (2019, Januari 2). *Apa itu Convolutional Neural Network*. Retrieved oktober 8, 2023, from https://medium.com/@16611110/apa-itu-convolutional-neural-network-836f70b193a4
- Meizikri, R., Yani, F. F., & Yusrawati. (2016). Hubungan Kejadian Pneumonia Neonatus dengan Beberapa. *Jurnal Kesehatan Andalas*, 2.
- Nurvinda, G. (2021, April 11). Pentingnya Preprocessing dalam Pengolahan Data Statistik. Retrieved Oktober 8, 2023, from DQLab Belajar Data Science: https://dqlab.id/pentingnyapreprocessing-dalam-pengolahan-datastatistik
- Oliver, A. (2023, Agustus 19). *Bikin Data Lebih Mudah Dibaca, yuk, Kenalan dengan Data Preprocessing*. Retrieved Oktober 15, 2023, from https://glints.com/id/lowongan/data-preprocessing-adalah/
- Putri, T. A., Diana, & Purnamasari, S. D. (2020). Identifikasi Penyakit Paru-Paru Menggunakan Metode K Nearest Neigbor (KNN). *Bina Darma Conference on Computer Science*, 43-44.

- Reuter, S., Moser, C., & Baack, M. (2014, Oktober). *Gangguan Pernapasan pada Bayi Baru Lahir*. Retrieved Oktober 17, 2023, from National Library of Medicine: https://www.ncbi.nlm.nih.gov/pmc/articles/PMC4533247/
- Rohpandi, D., Sugiharto, A., & Winara, G. A. (2015). Aplikasi Pengolahan Citra Dalam Pengenalan Pola Huruf Ngalagena Menggunakan MATLAB. Konferensi Nasional Sistem & Informatika 2015, 2.
- Santoso, A., & Ariyanto, G. (2018). Implementasi Deep Learningberbasis Kerasuntuk Pengenalan Wajah. *Jurnal Teknik Elektro*, 15-18.
- Suartika E. P, I., Wijaya, A. Y., & Soelaiman, R. (2016). Klasifikasi Citra Menggunakan Convolutional. *Jurnal Teknik ITS Vol.5*, *No.1*, A65.
- Unair. (2023, Maret 31). Deteksi Pneumonia pada Gambar Rontgen Dada Anak Menggunakan Jaringan Syaraf Konvolusional. Retrieved Oktober 10, 2023, from Unair News: https://unair.ac.id/deteksi-pneumonia-pada-gambar-rontgen-dada-anak-menggunakan-jaringan-syaraf-konvolusional/
- UNICEF. (2019, November 12). Lembaga kesehatan dan anak memeringatkan satu anak meninggal akibat pneumonia setiap 39 detik. Retrieved Januari 30, 2024, from UNICEF Indonesia:

  https://www.unicef.org/indonesia/id/si aran-pers/lembaga-kesehatan-dan-anak-memeringatkan-satu-anak-meninggal-akibat-pneumonia-setiap-30
- UNICEF. (2020, Januari 31). *Kenali 6 Fakta*tentang Pneumonia pada Anak.

  Retrieved Oktober 17, 2023, from unicef.org:

  https://www.unicef.org/indonesia/id/ke sehatan/cerita/kenali-6-fakta-tentang-pneumonia-pada-anak
- Yopento, J., Ernawati, & Coastera, F. F. (2022). Identifikasi pneumonia Pada Citra X-Ray Paru-Paru Menggunakan Metode Convolutional Neural

TINF - 003 p - ISSN : 2407 – 1846 e - ISSN : 2460 – 8416

Website: jurnal.umj.ac.id/index.php/semnastek

Network (Cnn) Berdasarkan Ekstraksi Fitur Sobel. *Jurnal Rekursif*, 44-46.